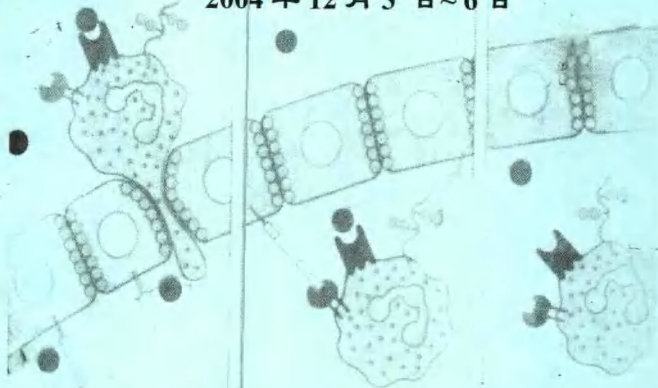


# 中国免疫学杂志

## 第七届学术论文研讨会资料

浙 江 · 温 州

2004年12月3日~6日



中国免疫学杂志编辑部主办

温州医学院检验医学院 协办

## 中国免疫学杂志第七届学术论文研讨会日程表

12月3日	12月4日	12月5日	
全天报到	7: 00-7: 30	自助早餐 专家楼餐厅	7: 00-7: 30
	7: 40	专家楼门前集合	自助早餐 专家楼餐厅
	8:30-11:30	主持人: 中国免疫学杂志编辑部 徐杰主任	7:40 专家楼 门前集合
	会议地点:	一、开幕式	全天参观 雁荡山
	温州医学院 茶山行政楼 (同心楼)6 楼会议室	1 会议协办单位 温州医学院陈肖鸣副院长讲话	
		2 本刊主编 吉林大学 杨贵贞教授讲话	
3 中国免疫学杂志编辑部 徐杰主任 讲话			
二、全体代表合影 行政楼门前			
	三、学术报告 主持人: 中国免疫学杂志编辑部 徐杰主任		
	1 报告题目:《一种自身免疫性肝炎模型的创建》 报告人: 田志刚教授 中国科技大学免疫学研究所所长, 生命科学学院副院长, 山东大学生物技术创新团队首席专家 2 报告题目:《流感病毒的研究》 报告人: 李康生教授 汕头大学医学院微生物与免疫学教研室主任; 曾在国际顶级杂志《Nature》上发表过 5 个国家地区(中国、美国、泰国、越南、印度尼西亚、中国香港)的合作项目《关于过去 5 年中国禽流感病毒的研究结果》一文, 引起国际医学界的轰动。 3 报告题目:《免疫细胞因子表达水平的定量分析》 报告人: 吕建新教授 温州医学院副院长, 检验医学院院长 四、大会交流 主持人: 华中科技大学 沈关心教授 哈尔滨医科大学 李殿俊教授		
11:30-12:30	午餐 地点: 茶山餐厅 3 楼		
14:00-17:30	一、大会交流 主持人: 北京中医药大学 邱全瑛教授 中国科技大学 田志刚教授 二、论文评审专家组评审会议优秀论文 三、宣读优秀论文获奖者名单并颁发证书 四、大会总结及闭幕式		
17: 30-	全体会餐		

注: 按餐券日期当顿有效, 早餐: 7: 00-7: 30, 午餐: 11: 30-12: 30, 晚餐: 17: 00-17: 30。

## 大会发言顺序

- 1 刘顺爱 北京地坛医院病毒室  
《北京地坛医院 SARS 的临床及研究概况》
- 2 陈巧林 北京大学人民医院风湿免疫科  
《RNAi 对类风湿关节炎相关性 HLA-DRB1\*0401 基因表达的抑制作用》
- 3 姜汉英 华中科技大学同济医学院附属同济医院  
《祖籍湖北汉族鼻咽癌患者与 HLA 抗原相关性的研究》
- 4 瞿少刚 武汉大学医学院免疫学系  
《新型细胞因子 IL-24 真核表达载体的构建、表达及其对肿瘤的抑制作用》
- 5 郝钰 北京中医药大学免疫教研室  
《益气活血解毒方体外内抑瘤作用的初步研究》
- 6 张丹 遵义医学院免疫学教研室  
《子宫内膜异位症钙粘黏附素 E 的表达及意义》
- 7 龙燕 贵阳医学院免疫学教研室  
《单纯疱疹病毒感染和 ApoE 基因多态性对阿尔茨海默病发病的影响》
- 8 娄金丽 北京中医药大学免疫学教研室  
《小檗碱抗肿瘤新生血管形成的实验研究》
- 9 马莉 贵阳医学院附属医院中心实验室  
《强直性脊柱炎 TH 亚群激活及 T 细胞活化状态研究》
- 10 马莉 贵阳医学院附属医院中心实验室  
《大肠癌患者外周血与肿瘤浸润淋巴细胞 Fas 及 FasL 表达的意义》
- 11 蒋文玲 广东省人民医院医学研究中心  
《冠心病患者肺炎衣原体 DNA 及抗体检测》
- 12 杨广民 吉林省人民医院中心实验室  
《人白细胞介素 18 (IL-18) 的单纯化及生物学活性的鉴定》
- 13 张武英 广东医学院附属医院感染内科  
《乙型肝炎患者血清 IL-10、IL-6、IL-8、和 TNF- $\alpha$  的检测及临床意义》
- 14 张梅 中国农业科学院兰州畜牧与兽药研究所  
《兽药人工抗原合成的研究进展》
- 15 朱玲 福建医科大学
- 16 谭德讲 中国药品生物制品鉴定所
- 17 张丽 北京中医药大学免疫学系
- 18 马启玲 贵阳医学院附属医院
- 19 李淑玲 山东济宁医学院免疫室

## 目 次

### 分子与细胞免疫学

- 继发性泡状棘球蚴感染小鼠六种细胞因子动态研究  
..... 魏晓丽 丁剑冰 许晏 (1)
- 重组 P53 基因转染的肝癌细胞 ICAM-1 分子的表达  
..... 杨晓红 唐恩洁 任碧轩 (1)
- UCK-1 对小鼠淋巴细胞、骨髓细胞及  
巨噬细胞趋化作用的研究..... 覃红斌 唐军民 杨艺等 (1)
- 人白细胞介素 16 的基因克隆及其  
在大肠杆菌中的表达..... 司传平 李淑玲 许晓群等 (2)
- 淋巴细胞趋化性细胞因子受体 mRNA 在系统性  
红斑狼疮患者外周血单一核细胞的表达..... 李遇梅 姚煦 李安生等 (2)
- 血铅对血细胞免疫粘附功能影响的研究..... 李世光 付葵 祁春茹等 (3)

### 肿瘤免疫学

- 人 DC 与黑色素瘤细胞融合体外  
诱导特异性抗肿瘤 CTL..... 祝和成 于建华 吴尚辉等 (3)
- 胃癌细胞凋亡与胃癌微环境免疫  
细胞关系的定量研究..... 黄群 高晓燕 王健等 (3)
- 新型细胞因子 IL-24 真核表达载体的构建、  
表达及其对肿瘤的抑制作用..... 翟少刚 章晓联 李平飞 (4)
- 肿瘤坏死因子  $\alpha$  对 3T3-L1 细胞葡萄糖  
摄取和 IRS-1 信号通路的影响..... 曾天舒 袁莉 陈璐璐 (4)

### 免疫学技术与方法

- 犬型钩端螺旋体 56603 株 66KD 抗原  
及抗血清免疫保护力测试..... 刘燕 黄勇 唐安建 (5)

### 中医中药与免疫

- 益气活血解毒方体外抑瘤作用的初步研究..... 郝钰 徐泊文 吴珺等 (5)
- 小檗碱抗肿瘤新生血管形成的实验研究..... 姜金丽 邱全琰 林洪生等 (6)
- 干佛菌对荷 S180 肉瘤小鼠  $M\phi$ -IL-1-Th1  
免疫调节网络影响的实验研究..... 贺新怀 吴晓康 席孝贤 (6)
- 免疫口服液对小鼠 NK 细胞活性的影响..... 傅瑞全 韦鹏雁 王坤等 (7)
- 蒜氨酸+蒜酶对环磷酰胺处理  
小鼠免疫功能的影响..... 陈锋 顾丹今 许晏等 (7)
- 中药活脑康对急性脑梗死大鼠脑组织  
巨噬细胞影响的研究..... 石学魁 潘玉辉 王雅贤等 (7)

### 遗传免疫学

- 汉族人 MBL 基因 Exon1 54 位密码子点  
突变及其血浆含量相关性研究..... 贾天军 李萍 张庶民等 (8)
- CTLA-4 与 IL-1 基因多态性与自身免疫性肝炎、  
原发性胆汁性肝硬化相关性研究..... 范列英 仲人前 屠小脚等 (8)
- 祖籍湖北汉族鼻咽癌患者与  
HLA 抗原相关的研究..... 姜汉英 于大尉 胡国清 (9)

RNA1 对类风湿关节炎相关性 HLA-DRB1\*0401

基因表达的抑制作用..... 陈巧林 李茹 李霞等 (9)

### 生殖免疫学

不明原因不育症患者的抗精子抗体分析..... 曹佐武 (9)

Ki-67 在子宫腺肌病组织中临床

各期表达的病理分析..... 辛晓岚 濮德敏 (10)

### 移植免疫学

遮蔽供者淋巴细胞减轻移植宿主疾病反应..... 张全 袁艺 李素波等 (10)

### 神经内分泌与免疫

单纯疱疹病毒感染和 ApoE 基因多态性

对阿尔茨海默病发病的影响..... 龙燕 左丽 李光荣等 (10)

### 临床免疫学

子宫内腺异位症钙粘黏附素 E 的表达及意义..... 张丹 孙万邦 王宗贤 (11)

强直性脊柱炎 TH 亚群激活及 T 细胞活化状态研究

..... 马莉 杨洁 李虹 (11)

大肠癌患者外周血与肿瘤浸润淋巴

细胞 Fas 及 FasL 表达的意义..... 马莉 鞠冬阳 (12)

不同类型肺癌与血清 CYFRA21-1、NSE、CEA 关系的探讨..... 王燕 (12)

食管癌及其前病变患者血清补体总活性

及红细胞 CR1 表达及意义..... 任金荣 孙丽霞 杨淑琴等 (12)

### 实用临床免疫学

自身免疫性肝炎患者血清自身抗体检测意义..... 张利方 阎有功 郑山根等 (12)

转铁蛋白受体在慢性病贫血大鼠骨

髓血细胞中的表达..... 王强 董巍 (13)

Fas、FasL 在特发性血小板减少性紫癜患儿 T

细胞亚群及血小板中的表达..... 刘仿 杨小猛 赵丹等 (13)

抗精神病药物对儿童少年精神分裂症

患者血清白介素-2 的影响..... 郭敬华 李强 郭素芹等 (13)

抗精神病药物对儿童少年精神分裂症患者

血浆  $\alpha$ -肿瘤坏死因子的影响..... 成军 郭素芹 郭敬华等 (14)

慢性肾功能衰竭患者红细胞免疫功能的检测..... 赵玉玲 冯卫东 (14)

冠心病患者肺炎衣原体 DNA 及抗体检测..... 蒋文玲 孙芸芸 罗亮玲 (15)

1018 例孕妇血清 HBVDNA 荧光定量 PCR 检测分析..... 蔡筠 金曙 (15)

乙型肝炎患者血清 IL-10、IL-6、IL-8、

和 TNF- $\alpha$  的检测及临床意义..... 张武英 龙列明 龙尧等 (15)

特异性免疫牛奶对乙型肝炎的辅助治疗研究..... 尹文 雷迎峰 马羽萍等 (16)

系统性红斑狼疮与细胞凋亡的临床探讨..... 靳淑玲 罗继征 王北宁 (16)

首次受血者与手术病人血清中梅毒

抗体的检测与临床价值研究..... 敬永霞 (16)

### 专题综述

重 L-18 与 HBV 感染的相关性研究进展..... 江华 程正江 (16)

MHC 区域 LMP 和 TAP 基因多态性的研究..... 吴爱华 高眉扬 陈盛强 (17)

TLR 与肿瘤免疫: 旁观者还是参与者?..... 陈凌 廖晓龙 (17)

热稳定抗原 (HAS/CD24) 的研究进展..... 崔玉真 周文斌 肖波 (17)

## ●分子与细胞免疫学●

### 继发性泡状棘球蚴感染小鼠六种细胞因子动态研究

魏晓丽 丁剑冰 许 晏 (新疆医科大学基础医学院免疫学教研室, 新疆 830054)

**[摘要]** 目的: 观察人工接种泡状棘球蚴(EM)昆明小鼠体内六种细胞因子水平的动态变化, 研究泡球蚴病的分子免疫学机制。方法: 实验组和对照组小鼠分别腹腔接种泡球蚴及生理盐水, 持续观察 260 天, 收集各组血清用 ELISA 法检测血清中 IL-2、IFN- $\gamma$ 、TNF- $\alpha$ 、IL-4、IL-5、IL-10 水平。结果: 实验组六种细胞因子水平始终高于正常对照组, 其中 Th1 类细胞因子 IL-2 水平在感染后 80 天达到峰值, 感染 140 天后, 迅速降低; TNF- $\alpha$  水平在 40 天较对照组明显上升, 感染 100 天左右, 达到峰值, 140 天后迅速下降; IFN- $\gamma$  在感染 80 天以前, Th2 类细胞因子 IL-4、IL-5、IL-10 维持在较低水平, 100 天后, 这三类细胞因子明显上升, 其中 IL-4、IL-10 水平在 100 天达到峰值, IL-5 水平在 140 天达到峰值, 以后维持在较高水平。结论: Th2 细胞介导的细胞免疫共同参与了宿主抗包虫免疫。感染早期以 Th1 细胞介导的细胞免疫为主, 感染中晚期转化为以 Th2 细胞介导的体液免疫为主。

### 重组 P53 基因转染的肝癌细胞 ICAM-1 分子的表达

杨晓红 唐恩洁 任碧轩 (川北医学院分子生物学研究室, 南充 637007)

**[摘要]** 目的: 探讨外源性 P53 基因转染对人肝癌细胞系 HepG-2 表面细胞间粘附分子-1(ICAM-1)表达水平的影响。方法: 采用 cell-ELISA 法检测粘附分子 ICAM-1 的表达。结果: 外源性 P53 转染的 HepG-2 细胞 ICAM-1 表达水平较对照组显著增高。结论: 外源性野生型 P53 基因能提高 HepG-2 细胞 ICAM-1 分子的表达, 增强肿瘤细胞的免疫原性。

### UCK-1 对小鼠淋巴细胞、骨髓细胞及巨噬细胞趋化作用的研究

覃红斌 唐军民<sup>①</sup> 杨 艺 唐 岩<sup>①</sup>  
(湖北民族学院医学院, 恩施 445000)

**[摘要]** 目的: 本实验主要研究趋化因子 UCK-1 对正常小鼠淋巴细胞、巨噬细胞、骨髓细胞的趋化活性、生物学效应和作用机制。方法: 通过质粒的构建, BALB/C 小鼠骨髓细胞、淋巴细胞、巨噬细胞的分离, 将 UCK-1 和 pcDNA3 转染上清倍比稀释分别作用于小鼠上述细胞, 测出趋化指数并用 MTT 法观察骨髓细胞增殖情况。结果: 发现 UCK-1 转染上清呈剂量依赖性的对小鼠淋巴细胞、巨噬细胞、骨髓细胞有趋化作用, 对小鼠骨髓细胞也有明显的促增殖作用。结论: UCK-1 对正常小鼠淋巴细胞、巨噬细胞、骨髓细胞有明显的趋化作用, 提示了 UCK-1 对造血障碍性疾病、免疫功能缺陷的治疗有一定的应用前景。

<sup>①</sup>北京大学医学部, 北京 100083

## 人白细胞介素 16 的基因克隆及其在大肠杆菌中的表达<sup>①</sup>

司传平 李淑玲 许晓群<sup>②</sup> 冯进波<sup>②</sup> 魏海明<sup>③</sup>

(济宁医学院生物技术研究室, 济宁 272013)

**[摘要]** 目的: 通过从人外周血单个核细胞(PBMC)中克隆编码人 IL-16 的 cDNA 基因, 构建人 IL-16 的原核高效表达系统。方法: 从组胺刺激的正常人外周血单个核细胞中分离总 RNA, 利用半巢式 RT-PCR、T-A 克隆等技术得到特异的 cDNA 片段。将含有 IL-16cDNA 的质粒 IL-16-PUC18 和原核表达载体 PMAL-C2 经酶切、目的 DNA 片段的分离、重组连接、筛选、序列分析等系列操作, 获得重组质粒 PMAL-C2-IL-16, 将重组质粒转化至大肠杆菌 DH5a, 用 IPTG 诱导表达工程菌, Western blotting 检测表达产物。结果: 经序列测定证实, 所得片段为 IL-16cDNA; Western blotting 检测重组体中确有抗 IL-16 抗体的融合蛋白表达。结论: 成功克隆了中国人 IL-16cDNA, 并表达了 IL-16 融合蛋白。

① 本课题受山东省济宁市优秀中青年科技发展基金资助

② 山东省医学科学院基础所, 济南 260062

③ 中国科学技术大学免疫学研究所, 合肥 230027

## 淋巴细胞趋化性细胞因子受体 mRNA 在系统性红斑狼疮患者外周血单一核细胞的表达

李遇梅 姚 煦 李安生 钟连声 陈志强

(中国医学科学院、中国协和医科大学皮肤病研究所, 北京 210042)

**[摘要]** 目的: 探讨淋巴细胞趋化性细胞因子受体(XCR1)mRNA 在系统性红斑狼疮(SLE)患者外周血单一核细胞(PBMC)中的表达, 及其与疾病的相关性。方法: 收集 93 例确诊的 SLE 患者和 30 例健康对照组, 收集 PBMC, 提取 RNA。应用 RT-PCR 方法检测研究对象 XCR1 mRNA 表达水平。结果: 1、XCR1 mRNA 在 PBMC 中表达水平, 患者组( $1.571 \pm 0.841$ )与正常对照组( $0.192 \pm 0.135$ ), 两者差异无显著性( $P > 0.05$ )。活动期( $2.087 \pm 1.375$ )与对照组, 两者差异有显著性( $F=2.392, P=0.02$ ); 活动期与非活动期( $0.309 \pm 0.244$ ), 差异有显著性( $F=3.091, P=0.003$ ); 非活动期与对照组, 差异无显著性( $P > 0.05$ )。2、SLE 患者组 XCR1mRNA 水平与疾病活动度评分(SLEDAI)关系: SLE 患者组 PBMC 中 XCR1mRNA 表达水平与 SLEDAI 作直线相关性分析, XCR1mRNA 水平与 SLEDAI( $r=0.540, r^2=5.445, P=0.000$ )呈正相关。3、SLE 患者 PBMC 中 XCR1mRNA 表达与临床表现及实验室检查相关性: SLE 具有抗 SSA 抗体患者(17/68,  $1.37 \pm 1.23$ )比不具有相应表现患者(51/68,  $3.47 \pm 4.94$ ), 其 XCR1 mRNA 表达水平降低, 具有显著性差异( $F=2.78, P=0.007$ )。结论: XCR1 mRNA 表达水平在 PBMC 中活动期 SLE 患者比非活动期及对照组增高, 与疾病的活动性(SLEDAI)正相关, 非活动期与对照组差异无显著性。SLE 具有抗 SSA 抗体患者比不具有相应表现患者的 XCR1mRNA 表达水平降低, 两组均较健康对照组增高。提示 XCR1 参与疾病的发展, 与疾病的活动性相关, XCR1 可能参与抗 SSA 抗体的形成过程, 造成组织损伤。

## 血铅对血细胞免疫粘附功能影响的研究

李世光 付 葵 祁春茹 武仙果 · 孔庆浩 席卫平 梁英仪  
(山西省儿童医院妇幼保健院, 太原 030013)

**【摘要】** 目的: 探讨血铅对血细胞免疫粘附的影响程度。方法: 采用原子吸收光谱法和新鲜血细胞免疫粘附肿瘤细胞花环试验法, 以血铅含量  $0.48\mu\text{mol/L}$ 、 $0.24\mu\text{mol/L}$  为分界。分别对高铅组和低铅组血细胞膜免疫粘附肿瘤细胞花环率进行研究。结果: 高铅组与低铅组血细胞免疫粘附率差异显著, 铅分界值越高, 血细胞免疫粘附率改变越明显。结论: 铅对小儿血细胞免疫功能有不良影响, 两者存在相关关系。

## ●肿瘤免疫学。

### 人 DC 与黑色素瘤细胞融合体外诱导特异性抗肿瘤 CTL

祝和成 于建华 吴尚辉 黄柏英 顾焕华 罗学滨  
(中南大学细胞生物研究室, 成都 410078)

**【摘要】** 目的: 探讨 HLA-A2-阴性的黑色素瘤细胞与 HLA-A2+阳性 DC 融合后体外诱导 MelanA 特异性 CTL 的作用及交叉提呈抗原的能力。方法: 用 PEG 将黑色素瘤细胞与 DC 融合, 在含 GM-CSF RPMI1640 完全培养基条件下继续培养 24 小时或冻存于  $-196^{\circ}\text{C}$ , 然后将融合细胞或冻存的融合细胞与 Melan-A 特异性 T 细胞共同培养, 用细胞内细胞素染色法检测其诱导 CTL 的活性, 流式细胞术分析 T 细胞活化率。结果: 从异体外周血分离的单核细胞在 GM-CSF 及 IL-4 条件下, 培养 6 天后未成熟的 DC 能高表达 CD80、CD86、HLA-DR、HLA-ABC 及低水平的 CD83 和 CD14; 而经 TNF- $\alpha$ 、PGE-2 及 CD40L 诱导成熟的 DC, 则进一步上调这些分子的表达, 但微量表达 CD14, 融合细胞体外活化 Melan-A 特异性 T 细胞的效率为  $16.72\% \pm 4.26\%$ , 阴性对照为  $0.12\% \pm 1.47\%$ , 阳性对照为  $28.60\% \pm 5.67\%$ ; 冻存的融合细胞体外活化 Melan-A 特异性 T 细胞的效率为  $10.43\% \pm 3.46\%$ , 冻存 DC 阴性对照为  $0.28\% \pm 3.34\%$ , 冻存 DC+LAR-6 混合培养为  $0.33\% \pm 2.67\%$ , Melan-A 抗原肽脉冲的冻存 DC 阳性对照为  $72.1\% \pm 12.6\%$ 。结论: HLA-A2-阴性的黑色素瘤细胞与 HLA-A2+阳性 DC 融合的细胞及冻存的融合细胞均能在体外有效地交叉提呈 MHC-I 限制性肿瘤抗原并诱导 MelanA 特异性的 CTL。

### 胃癌细胞凋亡与胃癌微环境免疫细胞关系的定量研究

黄 群 高晓燕 王 健 纪扔斌 李俊达 徐平如 陈 江 王崇文  
(深圳市福田人民医院消化内科, 深圳 518033)

**【摘要】** 目的: 探讨胃癌细胞凋亡与其微环境中的免疫细胞凋亡与浸润程度的关系。方法: 应用免疫组织化学技术标记 40 例手术切除的胃腺癌组织微环境中树突状细胞(DC)、T

细胞和 NK 细胞, 并对其浸润程度进行定量评价; 应用 TUNEL 技术标记上述组织胃癌细胞与免疫细胞的凋亡细胞并定量测出凋亡水平, 最后分析胃癌细胞凋亡水平与免疫细胞的凋亡程度和不同免疫细胞浸润程度的关系; 结果: 本组胃癌细胞的凋亡指数与 TIL 的凋亡指数呈极显著的负相关( $r=-0.868, P<0.001$ ), 而与微环境中 DC、T 细胞和 NK 细胞的定量浸润水平呈显著意义的正相关( $r=0.823, r=0.764, r=0.708, P$  值均  $<0.001$ ); 结论: 胃癌细胞的凋亡水平与其微环境中的免疫细胞的浸润程度和凋亡水平密切相关。

## 新型细胞因子 IL-24 真核表达载体的构建、表达及其对肿瘤的抑制作用

瞿少刚 章晓联 李平飞(武汉大学医学院免疫学系, 武汉 430071)

**[摘要]** 目的: 构建 IL-24 真核表达质粒, 研究其体内外表达对肿瘤细胞的生长抑制作用。方法: 采用重组 DNA 技术构建 IL-24 真核表达质粒 pEGFP-C1-IL-24。用脂质体法将重组质粒及空载体外转染 HIC 细胞, 再经激光扫描共聚焦显微镜(LSCM)观察其表达, 用 MTT 法检测 HIC 细胞的体外增殖能力, 用流式细胞仪检测细胞周期与凋亡。小鼠皮下接种转染 IL-24 真核表达质粒或空载的 B-16 细胞观察其体内致瘤性的变化。小鼠实体瘤模型研究基因转染对肿瘤的生长抑制作用。结果: pEGFP-C1-IL-24 转染 HIC 细胞后, LSCM 可观察到其表达。IL-24 基因转染的 HIC 细胞体外增殖能力明显受到抑制, G<sub>2</sub>-M 期细胞比例增高, 细胞被阻滞在 G<sub>2</sub>-M 期。转染 IL-24 的 B-16 细胞体内致瘤率降低。与对照组相比 IL-24 基因治疗肿瘤生长明显受到抑制( $P<0.05$ )。结论: IL-24 基因转染的肿瘤细胞体外生长受抑。瘤内注射 pEGFP-C1-IL-24 可抑制肿瘤生长, 具有明显的抗肿瘤作用。

## 肿瘤坏死因子 $\alpha$ 对 3T3-L1 细胞葡萄糖摄取和 IRS-1 信号通路的影响

曾天舒 袁莉 陈璐璐

(华中科技大学同济医学院附属协和医院内分泌科, 武汉 430022)

**[摘要]** 目的: 观察 TNF- $\alpha$  作用于 3T3-L1 细胞对胰岛素介导的葡萄糖摄取和 IRS-1 相关信号通路的影响。方法: TNF- $\alpha$  分别作用于 3T3-L1 细胞 6 小时和 24 小时后用胰岛素刺激, 观察细胞葡萄糖摄取, IRS-1 酪氨酸, 丝氨酸 307 磷酸化水平以及 PKB 磷酸化水平。同时观察那巴霉素对 TNF- $\alpha$  作用的影响。结果: TNF- $\alpha$  明显抑制胰岛素刺激的葡萄糖摄取和 IRS-1 酪氨酸及 PKB 磷酸化, 这些作用可被那巴霉素逆转。TNF- $\alpha$  作用 6 小时对 IRS-1 蛋白无影响但导致丝氨酸 307 磷酸化, 作用 24 小时则降低 IRS-1 蛋白水平, 那巴霉素拮抗 TNF- $\alpha$  导致 IRS-1 减少但对丝氨酸磷酸化无作用。结论: TNF- $\alpha$  导致的脂肪细胞胰岛素抵抗与 IRS-1 酪氨酸磷酸化水平下降密切相关, Rapamycin 可以逆转 TNF- $\alpha$  的作用。

## ●免疫学技术与方法。

### 犬型钩端螺旋体 56603 株 66KD 抗原及抗血清免疫保护力测试

刘燕 黄勇 唐安建 周卫国 孟佩云  
(成都军区联勤部军事医学研究所, 昆明 650032)

【摘要】目的: 拟通过犬型钩端螺旋体 56603 株 66KD 抗原及其抗血清免疫保护力测试, 为钩体病的诊断与防治研究提供资料。方法: 通过主动免疫和被动免疫途径, 对犬群犬型 56603 株钩体 66KD 抗原及其抗血清免疫保护力进行研究。结果: 犬群犬型 56603 株钩体 66KD 抗原及其抗血清能保护豚鼠免受 8 株致病性钩体(8 群 8 型)和 1 株非致病性钩体 PatocI 的攻击。结论: 犬型钩体 66KD 抗原及其抗血清, 具有很好的动物免疫保护作用, 具有属特异性, 值得进行深入研究。

## ●中医中药与免疫。

### 益气活血解毒方体内外抑瘤作用的初步研究

郝钰 徐泊文 吴珺 邱全瑛 (北京中医药大学为免教研室 100019)

【摘要】目的: 探讨。方法: 用 MTT 法分别检测中药提取物小檗碱 (Ber)、人参总皂甙 (RS)、三七总皂甙 (SQ) 及此三种提取物组成的益气活血解毒复方, 对高转移人肺癌细胞株 (PG)  $6 \times 10^4$ /ml 作用 48h, 50% 抑瘤率的最小浓度。体内抑瘤实验方法, 选用 C57BL/6J 小鼠, 接种 Lewis 肺癌细胞  $1 \times 10^7$ /ml, 每只 0.2 ml, 复制小鼠 Lewis 肺癌模型, 并随机分为 6 组: 生理盐水组; 小檗碱高剂量组 ( $4\text{mg} \cdot \text{kg}^{-1} \cdot \text{d}^{-1}$ ) 和低剂量组 ( $2\text{mg} \cdot \text{kg}^{-1} \cdot \text{d}^{-1}$ ); 复方高剂量组 ( $24\text{mg} \cdot \text{kg}^{-1} \cdot \text{d}^{-1}$ ) 和低剂量组 ( $12\text{mg} \cdot \text{kg}^{-1} \cdot \text{d}^{-1}$ ); 环磷酰胺组 (CTX  $60\text{mg} \cdot \text{kg}^{-1} \cdot \text{d}^{-1}$ )。瘤细胞接种后第二天开始, 分别连续给药 10 天。环磷酰胺组, 给药 1 次。第 12 天, 剥离瘤组织, 称重, 按常规测抑瘤率。结果: 体外抑瘤实验以 50% 抑瘤率的药物最小浓度表示。小檗碱为 10ug/ml; 人参总皂甙与三七总皂甙在 12.5 ug/ml~100 ug/ml 浓度范围内, 均无明显抑制肿瘤生长的作用; 复方为, Ber  $3.33\text{ug/ml}$ , RS  $16.65\text{ug/ml}$ , SQ  $16.65\text{ug/ml}$ 。体内实验显示, 环磷酰胺组抑瘤率为 68%, 优于其它各组,  $P < 0.01$ ; 小檗碱高剂量组 (40%) 与小檗碱低剂量组间差异显著,  $P < 0.01$ ; 复方高、低剂量组分别为 48%、37%, 差异显著,  $P < 0.05$ 。复方高剂量组抑瘤率 (48%) 高于小檗碱高剂量组 (40%),  $P < 0.05$ ; 复方低剂量组抑瘤率 (37%) 明显高于小檗碱低剂量组 (18%),  $P < 0.01$ 。结论: 人参总皂甙、三七总皂甙, 在体外抑瘤作用不明显, 小檗碱, 在体内外均有一定抑制肿瘤生长作用, 且体外作用更显著。小檗碱, 在一定的浓度范围内, 存在量效关系。三药组成的益气活血解毒方在体内外均有一定的抑瘤作用, 在主要抑瘤药小檗碱含量相同的情况下, 复方的抑瘤作用较单纯小檗碱明显, 说明人参总皂甙和三七总皂甙可能增强小檗碱的抑制肿瘤生长作用, 其机制待进一步探讨。

## 小檗碱抗肿瘤新生血管形成的实验研究

姜金丽 邱全璞 林洪生<sup>①</sup> 裴迎霞<sup>①</sup> 祁鑫<sup>①</sup> 何秀  
(北京中医药大学免疫学教研室, 北京 100029)

**[摘要]** 目的: 研究小檗碱对 bFGF 活化人脐静脉内皮细胞(HUVEC)增殖、细胞周期及细胞凋亡作用的影响, 探讨其抗肿瘤新生血管形成作用。方法: 激光共聚焦显微镜检测第Ⅷ因子相关抗原, 对 HUVEC 细胞株进行鉴定; MTT 法检测小檗碱对 bFGF 活化 HUVEC 体外增殖作用; 流式细胞仪检测用药后细胞周期的变化; Hoechst33342 染色、Fluo-3 染色激光共聚焦显微镜下观察用药后细胞形态、细胞内钙的改变; Annexin V / PI 染色流式细胞仪检测用药后对诱导细胞凋亡作用的影响。结果: 激光共聚焦显微镜下可见, HUVEC 表面有较强绿色荧光, 而背景无荧光显示, 表明 HUVEC 细胞株第Ⅷ因子相关抗原为阳性。bFGF 能明显促进 HUVEC 的增殖, 与对照组(未加 bFGF)相比  $P < 0.01$ ; 而小檗碱在 2.5-40  $\mu\text{g} / \text{ml}$  浓度时均能明显抑制 bFGF 活化的 HUVEC 增殖, 且存在剂量依赖关系, 与对照组相比差异显著 ( $P < 0.01$ )。小檗碱作用活化的 HUVEC 后, 将细胞阻滞在 G0—G1 期(对照组、小檗碱 5  $\mu\text{g} / \text{ml}$  组、10  $\mu\text{g} / \text{ml}$  组在 G0—G1 期的细胞百分比分别为 57.55  $\pm$  1.11、62.10  $\pm$  0.98、70.41  $\pm$  3.12), 并呈剂量依赖关系, 与对照组相比差异显著 ( $P < 0.01$ )。同时 S 期的细胞数减少(三组依次为(12.93  $\pm$  2.41)%、(3.57  $\pm$  1.02)%、(6.87  $\pm$  1.20)%), 与对照组相比  $P < 0.01$ 。小檗碱作用活化 HUVEC 后, 在激光共聚焦显微镜下进行观察, 可见细胞核被染成蓝色, 与对照组相比, 用药组细胞核浓缩、甚至裂解成碎块; 另外可见细胞内钙被染成绿色, 与对照组相比, 用药组细胞内钙增多; 流式细胞仪检测小檗碱(5、10  $\mu\text{g} / \text{ml}$ )能诱导活化的 HUVEC 发生细胞凋亡, 总凋亡率分别为(16.20  $\pm$  3.90)%、(23.81  $\pm$  3.74)%、与对照组相比差异显著 ( $P < 0.01$ )。结论: 小檗碱可能通过将 bFGF 活化的 HUVEC 细胞周期阻滞在 G0—G1 期, 并诱导细胞发生凋亡, 抑制活化 HUVEC 的体外增殖, 从而发挥其抗肿瘤新生血管形成作用。

①中国中医研究院广安门医院肿瘤实验室, 北京 100053

## 千佛菌对荷 S180 肉瘤小鼠 M $\phi$ -IL-1—Th1 免疫调节网络影响的实验研究

贺新怀 吴晓康 席孝贤 (陕西中医学院陕西·咸阳 712083)

**[摘要]** 目的: 探讨中药千佛菌对荷 S180 肉瘤小鼠 M $\phi$ -IL-1—Th1 免疫调节网络的影响。方法: 将 BALB/c 小鼠随机分为 A(正常对照)、B(模型对照)、C(千佛菌小剂量)、D(千佛菌大剂量)四组。除 A 组外: 其余三组皮下接种 S180 瘤细胞悬液, 制成小鼠荷瘤模型。然后 C、D 组分别用 1: 1(相当于原药材 1g/ml)、2: 1(相当于原药材 2g/ml)浓度的千佛菌溶液灌胃 1ml, A、B 组给予相同剂量的生理盐水。1 次/天, 共 14 天。观察各组 M $\phi$ 、IL-1、Th1 含量或活性, 分别采用吞噬中性红比色法、MTT 比色法进行测定。结果: 荷瘤小鼠模型组与正常组比较, M $\phi$  吞噬功能、IL-1 含量、Th1 活性均显著降低 ( $P < 0.01$ ), 用药组与荷瘤小鼠相比, 腹腔 M $\phi$  吞噬功能、IL-1 含量、Th1 活性均增高, 其中大剂量用药组显著升高 ( $P < 0.01$ )。结论: 千佛菌对荷瘤小鼠 M $\phi$ -IL-1-Th 免疫网络有正向调节作用。

## 免疫口服液对小鼠NK细胞活性的影响

傅瑞全 韦鹏涯 王 坤 杨贵彬 (广西右江民族医学院, 百色 533000)

**[摘要]** 目的: 研究免疫口服液对正常和免疫抑制小鼠NK细胞活性的影响。方法: 用不同剂量免疫口服液给正常小鼠和环磷酰胺免疫抑制小鼠灌胃, 然后检测小鼠NK细胞的活性。结果: 免疫口服液对正常小鼠NK细胞活性无明显影响( $P>0.05$ ), 对免疫抑制小鼠NK细胞活性有显著增强作用( $P<0.005$ )。结论: 免疫口服液对免疫抑制小鼠NK细胞活性有正调节作用。

## 蒜氨酸+蒜酶对环磷酰胺处理小鼠免疫功能的影响

陈 锋 顾丹今<sup>①</sup> 许 晏<sup>①</sup> 秦永德<sup>②</sup> 陈 坚<sup>③</sup> 王亚男  
(新疆医科大学病原学教研室, 乌鲁木齐 830054)

**[摘要]** 目的: 探讨蒜氨酸+蒜酶对环磷酰胺(Cyclophosphamide, Cp)所致免疫受抑小鼠的免疫功能的影响。方法: 观察小鼠免疫器官的重量, 血清溶血素CH50值, ConA和LPS刺激的小鼠脾淋巴细胞增殖, 小鼠腹腔巨噬细胞吞噬功能, 小鼠血清IL-2和TNF- $\alpha$ 含量以及小鼠脾细胞IL-2mRNA的表达。结果: 与模型组比较, 蒜氨酸+蒜酶中、高剂量组能提高免疫受抑小鼠腹腔巨噬细胞吞噬率( $P<0.01$ ), 脾淋巴细胞增殖功能( $P<0.01$ ), 血清溶血素CH50值( $P<0.01$ ), 血清TNF- $\alpha$ 含量( $P<0.05$ )和脾细胞IL-2mRNA, 高剂量组能提高血清IL-2含量( $P<0.01$ ); 但对免疫器官重量无影响。结论: 蒜氨酸+蒜酶具有增强小鼠非特异免疫功能, 并对细胞, 体液免疫有促进作用, 提示在大蒜免疫调节作用中蒜氨酸+蒜酶起着重要作用。

①新疆医科大学免疫学教研室

②新疆医科大学核医学科

③新疆医科大学药学院

## 中药活脑康对急性脑梗死大鼠脑组织巨噬细胞影响的研究

石学魁 潘玉辉<sup>①</sup> 王雅贤<sup>①</sup> 李建志<sup>①</sup>  
(牡丹江医学院病原生物学教研室, 牡丹江 150040)

**[摘要]** 目的: 探讨急性脑梗死大鼠脑组织巨噬细胞的变化及中药活脑康的保护作用。方法: 采用组织化学法(非特异性酯酶染色法), 测定脑梗死组及活脑康治疗组脑组织巨噬细胞的变化。结果: 模型组巨噬细胞数量明显高于正常对照组( $P<0.001$ )。应用活脑康与步长脑心通后巨噬细胞数量明显下降, 与模型组比较  $P<0.001$ 。结论: 急性缺血性脑损伤与脑组织巨噬细胞数量增加一定关系, 中药活脑康可降低巨噬细胞数量, 保护脑组织, 抑制缺血性脑损伤。

①黑龙江中医药大学免疫学教研室, 黑龙江哈尔滨 150040

## ·遗传免疫学·

### 汉族人 MBL 基因 Exon1 54 位密码子点突变及其血浆含量相关性研究

贾天军 李萍 张庶民<sup>①</sup> 赵铁军 张艳芳 罗强  
(张家口医学院实验中心, 张家口 075029)

**【摘要】**目的: 建立检测IMBL基因54位密码子点突变的方法, 初步调查健康汉族人MBL基因54位密码子点突变的情况, 检测其血浆MBL含量, 找出二者的相关性。方法: 根据MBL基因序列设计引物建立MBL基因点突变检测方法即PCR-RFLP; 用MBLOligomer ELISA试剂盒测定出血浆MBL的浓度。结果: 建立了特异敏感的检测MBL基因54位密码子点突变的方法, 测定健康汉族人基因突变频率为0.2321; 健康汉族人血浆MBL含量的平均值为1999 $\mu\text{g}/\text{L}$ , 标准差为1505; 健康汉族人血浆MBL含量与其编码基因Exon154位密码子的点突变频率呈负相关,  $X^2=48.107$ ,  $P<0.001$ ;  $r=-0.62$ 。结论: 所建立的MBL的PCR-RFLP测定点突变的方法, 特异性高, 重复性好, 较为灵敏(最低检出量为160 $\mu\text{g}$  DNA); 初步测定了健康汉族人的基因突变频率及其血浆MBL含量, 二者呈负相关。

①中国药品生物制品检定所血清室

### CTLA-4与IL-1基因多态性与自身免疫性肝炎、原发性胆汁性肝硬化相关性研究

范列英 仲人前 屠小脚 Thomas Pfeiffer Ralph Feltens 朱焯 周琳  
(上海长征医院区教部, 上海 200003)

**【摘要】**目的: 自身免疫性肝炎(AIH)和原发性胆汁性肝硬化(PBC)是两组重要的自身免疫性肝脏疾病, 遗传因素与发病相关。细胞毒性T淋巴细胞相关抗原-4(CTLA-4)、白细胞介素-1(IL-1)均具有重要的免疫调节功能, 可能与AIH、PBC发病相关。本文目的在于探讨CTLA-4、IL-1B和IL-1受体拮抗剂(IL-1RN)基因多态性与中国人AIH、PBC发病的相关性。方法: 采用PCR-限制性长度多态性分析(PCR-RFLP)法分析49例AIH、58例PBC患者外周血单核细胞基因组DNA CTLA-4外显子1区和IL-1B基因多态性, 采用PCR方法分析IL-1RN的基因多态性, 并与160例正常对照组比较。结果: PBC患者组CTLA-4基因表型分布明显不同于正常对照组(AAvsAGvsGG,  $X^2=11.5$ ,  $P=0.003$ ), 且PBC患者G等位基因携带率明显高于正常组( $X^2=8.97$ ,  $P=0.0027$ )。PBC组IL-1RN<sub>1</sub>和1<sub>2</sub>表型携带率也明显与正常组不同(91.4%vs79.4%and6.9%vs17.5%,  $P=0.03$ ), PBC患者组IL-1RN<sub>2</sub>等位基因携带率低于正常对照组( $P=0.057$ )。AIH患者组CTLA-4外显子1区基因及IL-1基因多态性与正常对照组无显著差异。结论: CTLA-4外显子1区49位G/A基因多态性和IL-1RN基因多态性与中国人PBC间可能存在基因连锁关系, CTLA-4外显子1区49位G携带率增加与IL-1RN\*2等位基因携带率减少与PBC发病相关。CTLA-4外显子1区及IL-1基因多态性与中国人AIH无显著相关性。

## 祖籍湖北汉族鼻咽癌患者与 HLA 抗原相关研究

姜汉英 丁大尉 胡国清 (华中科技大学同济医学院附属同济医院, 武汉 430030)

**【摘要】**目的: 本报道 25 例鼻咽癌患者和 50 例正常祖籍湖北汉族居民 HLA-A, HLA-B 位点抗原分型。方法: 采用美国 NIH 标准微量淋巴细胞毒技术和免疫磁珠分离 TB 淋巴细胞, HLA 抗血清由美国 Traski 实验室和上海中心血站提供。结果: 鼻咽癌患者组的 HLA-A1, HLA-B63 抗原频率明显高于正常对照组 ( $P$  值分别为 0.009 8 和 0.002 8)。结论: HLA-A1 可能是湖北或华中地区鼻咽癌患者相关的一种区域性抗原, 而 HLA-B63 可能是一个新的鼻咽癌相关的抗原。

## RNAi 对类风湿关节炎相关性 HLA-DR $\beta$ 1\*0401 基因表达的抑制作用

陈巧林 李茹 李霞 孙晓云 栗占国  
(北京大学人民医院风湿免疫科, 北京 100044)

**【摘要】**目的: 研究小干扰 RNA(short interfering RNA, siRNA)效应对 HLA-DR $\beta$ 1\*0401 基因表达的抑制作用, 探讨 RNAi 在类风湿关节炎治疗中的意义。方法: 根据 HLA-DR $\beta$ 1\*0401 的基因序列及其二级结构特征, 利用 promega 公司等提供的 siRNA 设计原则, 合成了针对 HLA-DR $\beta$ 1\*0401 基因的 4 组 siRNAs; 运用脂质体方法将合成的 siRNA 转染 Priess(转入 HLA-DR $\beta$ 1\*0401 基因)细胞株, 以未转染和转染非特异性序列为对照; 通过 Western blot 和 RT-PCR 检测 siRNAs 的抑制效应, 筛选最佳目标序列; 进一步采集制备各类风湿关节炎(RA)患者外周血单个核细胞(PBMC), 以最佳 RNA 序列进行干扰抑制实验, 通过间接免疫荧光(INF)和流式细胞术验证其抑制 HLA-DR $\beta$ 1\*0401 基因表达的效果。结果: 合成的 4 组 siRNAs 均不同程度的抑制了 HLA-DR $\beta$ 1\*0401 mRNA 水平和基因的表达, 抑制水平从 60-95% 不同, 针对位点 4 目标序列的 siRNA 显示最强的 RNAi 抑制效果; 经过针对位点 4 目标序列的 siRNA 抑制过的 RA 患者 PBMC 荧光显微镜下细胞表面荧光几乎没有, 流式细胞术测定结果也显示与 PE 标记 HLA-DR 抗体结合减弱。结论: 细胞 HLA-DR $\beta$ 1\*0401 基因的表达可以被其 siRNAs 特异性抑制, siRNA 有望应用于 RA 的治疗。

## ●生殖免疫学●

### 不明原因不育患者的抗精子抗体分析

曹佐武 (暨南大学生殖免疫研究中心, 广州 510632)

**【摘要】**目的: 分析不明原因不育患者血清中抗精子抗体的发生率。方法: 筛选不明原因不育夫妇病例, 用 ELIAS 检测不育患者血清中的抗精子抗体。结果: 患者血清共 153 份, 8 份阳性, 占 5.23%, 其中男性血清阳性率为 3.64%, 女性血清阳性率为 6.12%, 没有发现夫妻双方同时阳性的病例。结论: 不明原因不育患者的血清抗精子抗体发生率较低, 而男性患者的阳性率比女性患者的阳性率更低。

## Ki-67 在子宫腺肌病组织中临床各期表达的病理分析

辛晓岚 濮德敏 (华中科技大学同济医学院附属同济医院妇产科, 武汉 430030)

**[摘要]** 目的: 观察 ki-67 在子宫腺肌病各期中的表达情况, 以探讨子宫腺肌病病灶内腺上皮细胞的 ki-67 表达与子宫腺肌病各期腺上皮细胞增殖的病理特征的关系。方法: 本研究采用单克隆抗体 ki-67SP 免疫组织化学法, 检测 40 例子宫腺肌病组织中 ki-67 的表达。结果: 在子宫腺肌病组织中, 阳性表达率为 85% ( $P < 0.05$ )。增生期为 24 例, 分泌期 15 例, 更年期 1 例, ki-67 的表达程度分别为 73.3%, 50%, 0% ( $P < 0.05$ )。结论: ki-67 基因在于子宫腺肌病病灶中的腺上皮的过度表达, 明显高于正常对照组而低于子宫内膜癌阳性对照组 ( $P < 0.05$ )。即细胞增殖在子宫腺肌病组织中明显增强, 这为探讨子宫腺肌病的病因寻找形态学根据。

## •移植免疫学•

### 遮蔽供者淋巴细胞减轻移植宿主疾病反应

张全 袁艺 李素波 窦娜 马伏玲 季守平  
(解放军总医院妇产科, 北京 100853)

**[摘要]** 目的: 探讨 mPEG 修饰人脐血单个核细胞并移植到 SCID 小鼠体内, 建立供者与受者的免疫耐受性及干祖细胞在小鼠造血重建功能。方法: 流式细胞仪测定修饰前后淋巴细胞 CD4、CD8 的变化; 体外培养观察修饰后 CFU-GM 形成数量; 人脐血干祖细胞移植到 SCID 小鼠体内 GVHD 出现的时间和小鼠存活率; 7 周左右测定移植后小鼠骨髓中人原细胞。结果: mPEG 几乎完全遮蔽淋巴细胞 CD4 和 CD8 表面抗原; 修饰前、后形成 CFU-GM 数域没有明显变化; 修饰后人脐血单个核细胞移植到小鼠体内, GVHD 出现的时间晚于未修饰组, 提高了存活率; 47 天在活杀小鼠的骨髓细胞中测到人 CD45 细胞。结论: mPEG 遮蔽淋巴细胞 CD4、CD8 抗原能减轻移植与宿主之间免疫反应, 而干祖细胞增殖、分化功能未受到明显影响, 为异基因移植提出一条新思路。

## •神经内分泌与免疫•

### 单纯疱疹病毒感染和 ApoE 基因多态性对阿尔茨海默病发病的影响

龙燕 左丽 李光荣 商正玲 裴华 赵明祥  
(贵阳医学院免疫学教研室, 贵阳 550004)

**[摘要]** 目的: 探讨单纯疱疹病毒感染和 ApoE 基因多态性对阿尔茨海默病发病的影响。方法: 用间接 ELISA 法测定 18 例阿尔茨海默病(AD)病人、10 例血管性痴呆(VD)病人和 20 例正常对照者血浆抗单纯疱疹病毒 1 型(HSV1)特异性 IgG、IgM 类抗体及抗单纯疱疹病毒 2

型(HSV2)特异性IgG、IgM类抗体;通过直接测序法检测载脂蛋白E基因的基因型并分析其单核苷酸多态性。结果:AD病人血浆抗HSV1特异性IgG类抗体阳性率较VD、正常对照明显升高( $P<0.05$ );各组血浆均未检测到抗HSV1、HSV2特异性IgM类抗体。含ε4等位基因的基因型在AD和VD组、对照组之间均有明显差异( $P<0.05$ );阿尔茨海默病的发病与HSV1感染和携带ApoEε4有明显相关性( $P=0.001$ , OR(1.809 4.976))。结论:HSV1感染和携带ApoEε4对AD发病均起重要作用,两种因素同时存在是AD发病的危险因子。

## ●临床免疫学。

### 子宫内膜异位症钙依赖黏附素E的表达及意义

张丹 孙万邦 王宗贤(遵义医学院 免疫学教研室, 遵义 563003)

**[摘要]**目的:探讨钙依赖黏附素-E(E-cadherin)与子宫内膜异位症发病的关系。方法:采用免疫组织化学技术测定30例EM患者异位子宫内膜、20例EM患者在位子宫内膜及30例正常子宫内膜组织中E-cadherin的表达情况。结果:E-cadherin主要表达于子宫内膜腺体上皮细胞的细胞膜,在EM异位内膜及在位内膜的表达显著低于正常子宫内膜。结论:E-cadherin在异位内膜腺体上皮细胞的异常表达可能参与了EM的发病。

### 强直性脊柱炎TH亚群激活及T细胞活化状态研究

马莉 杨洁 李虹(贵阳医学院附属医院中心实验室, 贵阳 550004)

**[摘要]**目的:研究强直性脊柱炎患者TH1/TH2细胞激活状态及T细胞活化状况,探讨其发病机理。方法:运用流式细胞组合微球细胞因子捕获法(Cytometric Bead Array, CBA)联合检测35例AS患者血浆中六种细胞因子(TNF- $\alpha$ , IFN- $\gamma$ , IL-2, IL-4, IL-5, IL-10),水平以及外周血淋巴细胞CD3+、CD4+、CD8+T、B细胞(CD19+)、NK细胞(CD16+56+)和CD3+HLA-DR+、CD4+HLA-DR+、CD8+HLA-DR+T细胞百分率,并与健康对照组比较。结果:AS患者血浆TNF- $\alpha$ 水平、IL-2水平均显著低于健康对照组( $P<0.01$ ,  $P<0.05$ ),IL-10水平显著高于健康对照组( $P<0.05$ )。CD3+、CD8+T细胞百分率显著低于健康对照。CD8+HLA-DR+T细胞百分率均显著低于健康对照( $P<0.05$ ),CD4+HLA-DR+T显著高于健康对照( $P<0.05$ )。结论:AS患者血浆低水平的TNF- $\alpha$ 、IL-2和高水平的IL-10提示其体内存在着TH1/TH2平衡的偏移;TH1激活程度低下,而TH2激活程度增强,细胞因子水平的改变尤以TH1细胞因子TNF- $\alpha$ 改变特别明显。AS患者CD3+CD8+T细胞百分率下降,CD8+T细胞HLA-DR的表达也下降,但CD4+T细胞HLA-DR表达明显增加,说明AS患者虽然外周血CD3+T细胞减少,但仍然存在CD4+T细胞过度活化,导致TH2细胞优势,B淋巴细胞数量增加。AS患者在多个层面存在细胞免疫功能紊乱。

## 大肠癌患者外周血与肿瘤浸润淋巴细胞 Fas 及 FasL 表达的意义

马 利 鞠冬阳<sup>①</sup> (贵阳医学院附属医院中心实验室, 贵阳 550004)

**【摘要】** 目的: 探讨 Fas / FasL 在大肠癌患者外周血淋巴细胞及肿瘤浸润淋巴细胞的表达变化的意义。方法: 用流式细胞仪对 36 例大肠癌患者外周血淋巴细胞(PBL)与肿瘤浸润淋巴细胞(TIL)的 Fas 及 FasL 进行定量分析。结果: 大肠癌患者 PML 和 IML 上 CD4+T 细胞、CD8+T 细胞、CD16+56+细胞 Fas / FasL 双阳性细胞数均显著高于正常对照组 PML 上阳性细胞数( $P < 0.05$ ,  $P < 0.01$ ), 肿瘤浸润淋巴细胞 CD4+、CD8+T 细胞 CD16+56+NK 细胞 Fas / FasL 双阳性细胞数显著高于外周血淋巴细胞( $P < 0.05$ ), 且肿瘤浸润淋巴细胞 CD4+Fas / FasL、CD / T 细胞 Fas、CD16+56+FasL 双阳性细胞数显著高于大肠癌组 PML。大肠癌患者外周血 CD3+T 细胞、CD3+CD4+T 细胞较正常对照组明显降低( $P < 0.05$ ), CD3+CD8+T 细胞与正常对照组比较降低不明显( $P > 0.05$ ), NK 细胞(CD3-CD16+56+)与正常对照组比较明显降低( $P < 0.05$ )。结论: Fas / FasL 在大肠癌患者外周血淋巴细胞与肿瘤浸润淋巴细胞的不同分布说明: Fas / FasL 系统在大肠癌的免疫逃避中发挥重要作用, 不仅在肿瘤浸润区域, 而且在全身系统水平上参与了机体免疫系统与肿瘤之间相互的斗争。

①贵阳医学院附属医院肛肠外科, 贵阳 550004

## 不同类型肺癌与血清 CYFRA21-1、NSE、CEA 关系的探讨

王 燕 (中国人民解放军第 201 医院检验科, 辽阳 111000)

## 食管癌及其前病患者血清补体总活性及红细胞 CR1 表达及意义

任金荣 孙丽霞 杨淑琴<sup>①</sup> 何兰欣 艾 军 闫富荣

河北医科大学第四医院肿瘤研究所免疫室, 石家庄 050011

①河北医科大学第四医院肿瘤研究所同位素室, 石家庄 050011

## ●实用临床免疫学。

### 自身免疫性肝炎患者血清自身抗体检测意义

张利方 阎有功 郑山根 钟 情

(广州军区武汉总医院检验科, 武汉 430070)

**【摘要】** 目的: 探讨抗可溶性肝抗原 / 抗肝胰抗原(SLA / LP)抗体在自身免疫性肝病中的阳性率。方法: 用间接免疫荧光法、免疫印迹法检测抗 SLA / LP 抗体, 并比较与抗平滑肌抗体(SMA)、抗线粒体抗体(AMA-M2)及抗肝肾微粒体(LKM-1)抗体之间的阳性率。结果: